

*Бурдюков*

АКАДЕМИЯ НАУК СССР

---

ГЕОМАГНЕТИЗМ  
и  
АЭРОНОМИЯ

(ОТДЕЛЬНЫЙ ОТТИСК)

5

---

МОСКВА · 1984

УДК 550.388.2

## ОБ ОДНОЙ СТАТИСТИЧЕСКОЙ МОДЕЛИ ОТРАЖЕНИЙ ОТ СЛОЯ $E_s$ .

*Трифонов А. П., Костица З. А., Радченко Т. А.*

Предложена статистическая модель отражений, основанная на представлении вариаций предельной частоты и частоты экранирования в виде случайных процессов. Модель позволяет описать закономерности изменения основных параметров отражений от  $E_s$  при вертикальном зондировании и функциональные зависимости между ними. Правомерность модели проверена на экспериментальных данных ионосферных станций.

**1. Введение.** Статистическому описанию отражений от слоя  $E_s$  посвящено значительное число публикаций ([1—4] и др.). Однако эта задача далека от своего окончательного решения, так как физические процессы, протекающие при формировании слоя  $E_s$  и отражении от него радиоволн, весьма сложны. Полное аналитическое описание этих процессов наталкивается на значительные трудности математического и физического плана. Поэтому, как правило, строятся модели, описывающие изменения отдельных параметров и характеристик, которые являются определяющими при расчетах отражения радиоволн от  $E_s$ .

Ниже предлагается статистическая модель, основанная на теории случайных процессов, позволяющая с единых позиций описать закономерности изменения ряда параметров отражений от  $E_s$  и функциональные связи между ними.

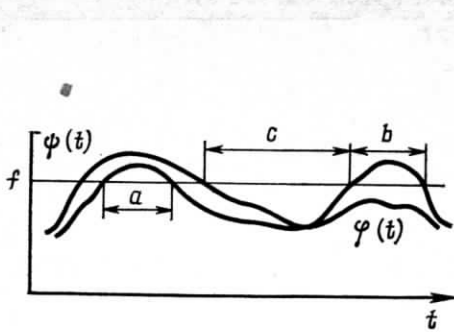
Сущность модели заключается в следующем. Появление слоя  $E_s$  фиксируется по наличию отражения зондирующего радиосигнала на соответствующей высоте. В отличие от регулярных слоев слой  $E_s$  характеризуется двумя частотными параметрами: предельной частотой  $f_0$  и частотой экранирования  $f_b$ . Изменения частот  $f_0$  и  $f_b$  во времени носят случайный характер, поэтому можно представить их в виде некоторых случайных процессов  $\psi(t)$  и  $\varphi(t)$ . На фиг. 1 приведены реализации этих случайных процессов. Поскольку  $f_b \leq f_0$ , то для любого момента времени  $\varphi(t) \leq \psi(t)$ . Отражения от  $E_s$  на некоторой частоте  $f$  будут фиксироваться в случае превышения процессом  $\psi(t)$  уровня  $f$ . Если при этом процесс  $\varphi(t)$  также превышает  $f$ , то на данной частоте имеет место полное экранирование верхних слоев ионосферы (фиг. 1, участок *a*). Если же  $\varphi(t) < f$ , то наблюдается отражение как от  $E_s$ , так и от вышележащих слоев, т. е. слой  $E_s$  полупрозрачный (участок *b* на фиг. 1). Если  $\psi(t) < f$ , а следовательно, и  $\varphi(t) < f$ , то отражений от слоя  $E_s$  не наблюдается (участок *c* на фиг. 1). Используя такое представление, можно получить аналитические соотношения для основных статистических характеристик отражения от слоя  $E_s$ .

**2. Статистические характеристики отражений.** Вероятность существования отражения от  $E_s$  на частоте  $f$  в данный момент времени — это не что иное, как вероятность превышения процессом  $\psi(t)$  значения  $f$  в данный момент времени:

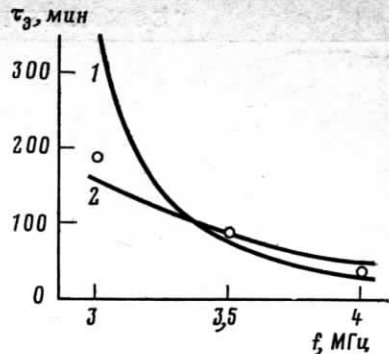
$$P_{E_s} = 1 - F_0(f). \quad (1)$$

Здесь  $F_0(f) = P[\psi(t_0) \leq f]$  — одномерная функция распределения случайного процесса  $\psi(t)$  или распределение частоты  $f_0$  для  $t=t_0$ .

Длительность отражения от слоя  $E_s$  на данной частоте  $f$  — это длительность превышения случайным процессом  $\psi(t)$  значения  $f$ . Длительность отражений является случайной величиной, функцию распределения



Фиг. 1



Фиг. 2

которой обозначим  $M_0(\tau)$ . Если можно выделить временной интервал  $T_{st}$ , на котором  $\psi(t)$  — приближенно стационарный, эргодический, непрерывно дифференцируемый случайный процесс, то для больших частот  $f$  на этом интервале имеет место соотношение [5]:

$$M_0(\tau) \approx 1 - \exp[-\pi(\tau/\tau_E)^2/4]. \quad (2)$$

Здесь  $\tau_E$  — средняя длительность превышения случайнм процессом  $\psi(t)$  значения  $f$ , т. е. средняя длительность отражения от  $E_s$  на частоте  $f$ . При достаточно низких частотах функция распределения длительности отражений может быть записана в виде [6]:

$$M_0(\tau) \approx 1 - \exp[-\Pi_0(f)\tau]. \quad (3)$$

Параметр  $\Pi_0(f)$  по смыслу совпадает со средним числом пересечений снизу вверх процессом  $\psi(t)$  порога  $f$  в единицу времени и может быть определен формулой [6]:

$$\Pi_0(f) = [1 - F_0(f)]/\tau_E = PE_s/\tau_E. \quad (4)$$

Средняя длительность отражения от слоя  $E_s$  в соответствии с (4):

$$\tau_E = [1 - F_0(f)]/\Pi_0(f) = PE_s/\Pi_0(f). \quad (5)$$

Вероятность отражения от  $E_s$  с длительностью не менее  $\tau_0$  на частоте  $f$  можно представить в виде произведения вероятностей:

$$(PE_s)_{\tau > \tau_0} = PE_s P[\tau > \tau_0] = PE_s [1 - M_0(\tau_0)]. \quad (6)$$

Для больших частот зондирования, учитывая (2), имеем:

$$(PE_s)_{\tau > \tau_0} = PE_s \exp[-\pi(\tau_0/\tau_E)^2/4]. \quad (7)$$

Для малых частот с учетом (3), (4):

$$(PE_s)_{\tau > \tau_0} = PE_s \exp[-(PE_s)\tau_0/\tau_E]. \quad (8)$$

Следует отметить, что (8) совпадает с выражением для вероятности отражения с длительностью не менее заданной, найденным эмпирически в [7]:

$$(PE_s)_{\tau > \tau_0} = PE_s \exp[-\tau_0/\theta], \quad (9)$$

где  $\theta$  — коэффициент устойчивости отражения. Из сопоставления (8) и (9) следует, что  $\theta = \tau_E/PE_s$ . Таким образом, коэффициент устойчивости отражения может быть рассчитан по известным характеристикам  $PE_s$  и  $\tau_E$  без специальных графических построений.

**3. Статистические характеристики экранирования.** Вероятность полной экранировки вышележащих слоев ионосферы записывается следующим образом:

$$P_0 = 1 - F_b(f). \quad (10)$$

Здесь  $R_b(f) = P[\varphi(t_0) \leq f]$  — одномерная функция распределения процесса  $\varphi(t)$  в момент  $t=t_0$ , или функция распределения частоты экранирования  $f_b$ .

Длительность полной экранировки вышележащих слоев ионосферы — это длительность превышения процессом  $\varphi(t)$  значения  $f$ . Обозначим функцию распределения длительности экранировки  $M_b(\tau)$ . Тогда на участке стационарности процесса  $\varphi(t)$  (в случае его эргодичности и дифференцируемости) при больших  $f$ :

$$M_b(\tau) = 1 - \exp[-\pi(\tau/\tau_s)^2/4], \quad (11)$$

при малых  $f$ :

$$M_b(\tau) = 1 - \exp[-P_s \tau / \tau_s]. \quad (12)$$

Здесь  $\tau_s$  — средняя длительность экранирования вышележащих слоев ионосферы, которая может быть рассчитана по формуле

$$\tau_s = [1 - F_b(f)] / \Pi_b(f) = P_s / \Pi_b(f), \quad (13)$$

$\Pi_b(f)$  — среднее число превышений в единицу времени процессом  $\varphi(t)$  значения  $f$ .

Вероятность экранирования вышележащих слоев с длительностью не менее заданной запишется следующим образом:

$$(P_s)_{\tau > \tau_0} = P_s [1 - M_b(\tau_0)]. \quad (14)$$

Для больших частот экранирования, учитывая (11), имеем:

$$(P_s)_{\tau > \tau_0} = P_s \exp[-\pi(\tau_0/\tau_s)^2/4]. \quad (15)$$

Для малых частот с учетом (12):

$$(P_s)_{\tau > \tau_0} = P_s \exp[-P_s \tau_0 / \tau_s]. \quad (16)$$

Таким образом, чтобы найти вероятность и распределение длительности отражения (экранировки), вероятность отражения (экранировки) с длительностью не менее заданной, достаточно знать либо распределение частот  $F_{0,b}(f)$  и среднюю длительность  $\tau_{E,s}(f)$ , либо  $F_{0,b}(f)$  и параметр  $\Pi_{0,b}(f)$ . Заметим, что часто выбором распределения  $F(f)$  определяется выражение для  $\Pi(f)$ . Следовательно, необходимым этапом для расчета перечисленных статистических характеристик является определение одномерной функции распределения частот.

**4. Логарифмически-нормальное распределение.** Покажем возможность использования общих соотношений (1)–(16) при наиболее распространенной [2, 3] аппроксимации эмпирических распределений частот  $f_0$  и  $f_b$  — логарифмически-нормальном распределении. В этом случае вероятность отражения от слоя  $E_s$  (4) и вероятность полной экранировки вышележащих слоев (10) запишутся следующим образом:

$$PE_s = 1 - \Phi[(\ln f - m_{0,b}) / \sigma_{0,b}], \quad (17)$$

Здесь  $m_{0,b}$  и  $\sigma_{0,b}$  — соответственно среднее значение и дисперсия случайных величин  $\ln f_{0,b}$ ;  $\Phi(x) = \int_{-\infty}^x \exp(-t^2/2) dt / \sqrt{2\pi}$  — интеграл вероятности.

Найдем  $\Pi_0(f)$  и  $\Pi_b(f)$ . По определению, если процессы  $\psi(t)$  и  $\varphi(t)$  подчиняются логарифмически-нормальному закону, то процессы  $y_0(t) = \ln \psi(t)$  и  $y_b(t) = \ln \varphi(t)$  описываются нормальным законом распределения с параметрами  $m_0$ ,  $\sigma_0$  и  $m_b$ ,  $\sigma_b$  соответственно. Среднее число превышений нормальным процессом  $y_{0,b}(t)$  уровня  $H$  равно [6]:  $\Pi_{0,b}(H) = \tau_{h0,b}^{-1} \exp[-(H - m_{0,b})^2 / 2\sigma_{0,b}^2]$ , где  $\tau_{h0,b}$  — параметр, имеющий смысл интервала корреляции случайного процесса  $y_{0,b}(t)$ . Очевидно, что среднее число превышений процессом  $y_{0,b}(t)$  значения  $H = \ln f$  равно среднему числу превышений процессами  $\psi(t)$  и  $\varphi(t)$  значения  $f$ . Поэтому

$\Pi_0(H) = \ln f / \tau_{h0,b}$  и  $\Pi_b(H) = \ln f / \tau_{hb}$ .

$$\Pi_{0,b}(f) = \tau_{hb}^{-1} \exp[-(\ln f - m_{0,b})^2 / 2\sigma_{0,b}^2]. \quad (18)$$

Подставляя  $\Pi_0(f)$  из (18) и  $PE_s$  из (17) в (5), получаем выражения для средней длительности отражений от слоя:

$$\tau_E = \tau_{hb} \{1 - \Phi[(\ln f - m_0)/\sigma_0]\} \exp[(\ln f - m_0)^2 / 2\sigma_0^2]. \quad (19)$$

Среднюю длительность экранировки получаем, подставляя  $\Pi_b(f)$  из (18) и  $P_s$  из (17) в (13):

$$\tau_a = \tau_{hb} \{1 - \Phi[(\ln f - m_b)/\sigma_b]\} \exp[(\ln f - m_b)^2 / 2\sigma_b^2]. \quad (20)$$

Используя (19) и (17), нетрудно рассчитать вероятность отражения от слоя  $E_s$  с длительностью не менее заданной по формуле (7) или (8). Подставляя (20) и (17) в (14)–(16), получим вероятность экранировки вышележащих слоев ионосферы с длительностью не менее заданной.

Возможность использования предложенной модели для описания и прогнозирования статистических характеристик отражения от  $E_s$ , связанных с частотой экранирования:  $P_s$ ,  $\tau_a$ ,  $(P_s)_{t>\tau_a}$ , была проверена на экспериментальных данных. В качестве последних использовались реализации  $\varphi(t) = f_b$ , представленные на  $f$ -графиках ионосферных станций Москвы, Киева, Ростова-на-Дону за 1965–1967 гг. и 1977–1979 гг. Для расчетов брались данные за июнь – июль, когда вероятность существования  $E_s$  максимальна и изменяется не более чем на 20% [1]. В качестве интервала стационарности выбран интервал от 6 до 13 ч, в пределах которого  $PE_s$  меняется на 15–20%. На выбранном интервале стационарности получены:

средняя длительность экранирования  $\tau_a^* = \sum_{i=1}^N \tau_i / N$ , вероятность экранирования  $P_s^* = n_i / n$  и вероятность экранирования в момент времени  $t_0$  с длительностью не менее заданной  $(P_s)_{t>\tau_a^*}^* = n_0 / n$ . Здесь  $N$  – число превышений процессом  $\varphi(t)$  значения  $f$  (число отражений от экранирующего слоя на частоте  $f$ ),  $\tau_i$  – длительность  $i$ -го превышения (отражения),  $n$  – число наблюдений (дней наблюдений) в момент  $t_0$ ;  $n_0$  – число случаев превышения процессом  $\varphi(t_0)$  уровня  $f$  в момент  $t=t_0$ ;  $n_0$  – число случаев превышения процессом  $\varphi(t_0)$  значения  $f$ , имеющих место в момент  $t=t_0$  и для которых  $t > \tau_a^*$ .

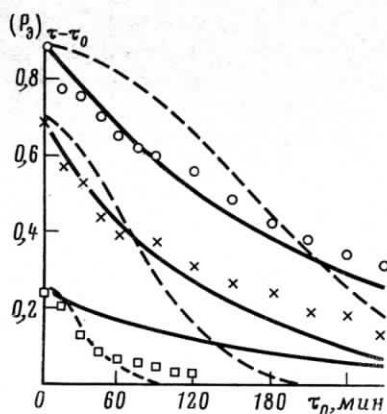
На основании экспериментальных значений  $P_s^*$  получены параметры логарифмически-нормального распределения  $m_b^*$  и  $\sigma_b^*$ . Затем по этим параметрам и значению  $\tau_a^*$ , полученному для нескольких частот, рассчитана в соответствии с (20) константа

$$\tau_{hb}^* = \tau_a^* \{1 - \Phi[(\ln f - m_b^*)/\sigma_b^*]\}^{-1} \exp[-(\ln f - m_b^*)^2 / 2\sigma_b^{*2}].$$

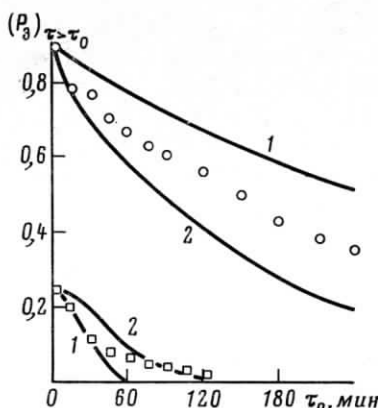
Усредненные значения этой константы использовались при расчете зависимости средней длительности отражений от частоты (20). На фиг. 2 в качестве примера приведена рассчитанная таким образом зависимость средней длительности экранирования от частоты для Москвы за 1965–1967 гг. (кривая 1). Здесь же представлены экспериментальные значения  $\tau_a^*(f)$  для  $f=3$ ; 3,5 и 4 МГц. Можно отметить, что эмпирическая зависимость  $\tau_a^*(f)$  качественно верно описывается формулой (20).

Экспериментальные значения вероятности экранирования с длительностью не менее заданной приведены на фиг. 3, где кружки – для  $f=3$  МГц, крестики –  $f=3,5$  МГц, квадраты –  $f=4$  МГц. Сплошными кривыми представлены зависимости, рассчитанные по формуле (16) для малых значений  $f$ , а штриховыми – по формуле (15) для больших  $f$ . Из графиков видна хорошая аппроксимация зависимости  $(P_s)_{t>\tau_a}$  выражением для больших частот (15) при  $f=4$  МГц и выражением для малых частот (16) при  $f=3$  МГц.

Как показали расчеты, условия применимости той или иной аппроксимации определяются соотношением параметров  $\tau_{hb}$  и  $\tau_a$ : если  $\tau_a < \tau_{hb}$ , то справедлива формула (15), если  $\tau_a \geq 4\tau_{hb}$ , – то формула (16). В более об-



Фиг. 3



Фиг. 4

щем виде эти условия можно записать на основе соотношения (20), введя обозначения  $v = \ln f/\sigma_b$  и  $\gamma = m_b/\sigma_b$ : если  $v > v^*$ , где  $v^*$  — решение уравнения

$$[1 - \Phi(v - \gamma)] = \exp[-(v - \gamma)^2/2],$$

то справедлива формула для больших частот (15), если  $v < v^{**}$ , где  $v^{**}$  — решение уравнения

$$[1 - \Phi(v - \gamma)] = 4 \exp[-(v - \gamma)^2/2],$$

то справедлива формула для малых частот (16).

Возможность прогнозирования значения вероятности  $(P_3)_{\tau > \tau_0}$  для любой частоты по известным значениям  $m_b^*$ ,  $\sigma_b^*$  и значению  $\tau_0^*$  для некоторой частоты была проверена на экспериментальных данных Москвы за 1965—1967 гг. следующим образом. На частоте  $f = 3,5$  МГц получено значение средней длительности экранирования  $\tau_0 = 86,26$  мин. Найдены значения  $\sigma_b^* = 0,058$  МГц и  $m_b^* = 0,585$  МГц. По значениям этих параметров рассчитано  $\tau_{b*} = 102,67$  мин,  $\gamma = 9,9$ ,  $v_3 = 8,22$  (для  $f = 3$  МГц),  $v_4 = 11,37$  (для  $f = 4$  МГц). Найдены значения средней длительности для 3 МГц  $\tau_0 = 432,0$  мин и для 4 МГц  $\tau_0 = 37,6$  мин. Для значений  $\gamma$ ,  $v_3$  расчет  $(P_3)_{\tau > \tau_0}$  производился по формуле (16), а для значений  $\gamma$ ,  $v_4$  — по (15).

На фиг. 4 представлены полученные таким образом кривые 1. Здесь же приведены экспериментальные значения  $(P_3)_{\tau > \tau_0}^*$ .

**5. Распределение Вейбулла.** Логарифмически-нормальная аппроксимация распределения частот  $f_0$  и  $f_b$  находит широкое применение и используется в большинстве работ ([1—3] и др.), посвященных слою  $E_s$ . Тем не менее значительная изменчивость экспериментальных данных и их зависимость от многих факторов не позволяют предложить универсальную аналитическую аппроксимацию распределения, пригодную во всех случаях. Действительно, для аналитического описания распределения частот  $f_0$  и  $f_b$  можно использовать широкий класс двухпараметрических распределений. Рассмотрим, в частности, как изменяются найденные выше характеристики, если для аналитического описания распределения частот использовать распределение Вейбулла [8]:

$$F_{0, b}(f) = 1 - \exp[-\beta_{0, b} f^{\alpha_{0, b}}]. \quad (21)$$

В этом случае выражения для вероятности отражения (1) и экранирования (10) имеют вид:

$$\frac{PE_s}{P_3} = \exp\{-\beta_{0, b} f^{\alpha_{0, b}}\}. \quad (22)$$

Нетрудно показать, что если  $\psi(t)$  и  $\varphi(t)$  описываются распределением Вейбулла (21), то процессы  $z_{0, b}(t) = \sigma \sqrt{2} \beta_{0, b} f^{\alpha_{0, b}/2}$  подчиняются распределению Рэлея с параметром  $\sigma$ . Для рэлеевского процесса известно выражение, определяющее среднее число выходов за уровень  $H$  в единицу вре-

мени  $\Pi(H) = H \exp[-H^2/2\sigma^2]/\sigma\tau_k$ , где  $\tau_k$  — константа, имеющая смысл интервала корреляции. Используя это выражение и функциональную связь  $z_{0,b}(t)$  с  $\psi(t)$  и  $\phi(t)$ , можно найти формулы для расчета параметров  $\Pi_{0,b}(f)$ , а затем в соответствии с (5), (13) — выражения для средней длительности отражений от  $E_s$  и средней длительности экранировки вышележащих слоев ионосферы:

$$\tau_{E_s, b} = \tau_{k0, kb} / \sqrt{2\beta_{0,b}} f^{\alpha_{0,b}/2}. \quad (23)$$

Зная  $PE_s, P_a$  (22) и  $\tau_{E_s, b}$  (23), нетрудно рассчитать вероятность отражения и экранировки с длительностью не менее заданной.

На фиг. 2 приведена кривая 2, рассчитанная по формуле (23) с использованием константы, полученной по экспериментальным данным, указанным выше. Видно, что вейбулловская модель несколько лучше описывает ход экспериментальной зависимости  $\tau_b(f)$ .

Условия применимости формул, описывающих распределение длительности экранирования для больших частот (15) и малых частот (16), записываются при вейбулловской аппроксимации аналитически. Так, при  $f \geq \beta_b^{-1/\alpha_b}$  следует пользоваться формулой (15), а при  $f \leq (9\beta_b)^{-1/\alpha_b}$  — формулой (16).

На фиг. 4 приведены результаты прогноза значений  $(P_a)_{\tau > \tau_0}$  на частотах 3 и 4 МГц по экспериментальным значениям  $\tau_b$  на частоте 3,5 МГц при вейбулловской аппроксимации распределения частот (кривые 2). Сопоставляя кривые 1, 2 и экспериментальные характеристики (кружки —  $f=3$  МГц, квадраты —  $f=4$  МГц), видим, что при вейбулловской аппроксимации можно прогнозировать значения  $(P_a)_{\tau > \tau_0}$  не хуже, чем при логарифмически-нормальной.

**6. Заключение.** Таким образом, применение общих выражений (1) — (16) для практических расчетов требует выбора определенной аналитической формулы, описывающей функции распределения  $F_{0,b}(f)$ . Тем не менее, как показывает сравнение расчетных данных с экспериментальными (фиг. 2, 4), полученные характеристики отражений от слоя  $E_s$  относительно устойчивы к выбору аппроксимации функции распределения. Действительно, переход от логарифмически-нормальной аппроксимации  $F_{0,b}(f)$  к аппроксимации посредством распределения Вейбулла не вызывает существенных ошибок в описании экспериментальных данных. Следовательно, можно проводить обработку данных, не предъявляя жестких требований к аналитической аппроксимации функции распределения.

Предложенная модель позволяет рассчитывать и прогнозировать для разных частот среднюю длительность отражений от экранирующего слоя, вероятность экранирования с длительностью не менее заданной. Это свидетельствует о целесообразности привлечения методов теории случайных процессов к описанию статистических закономерностей отражения от  $E_s$ .

#### ЛИТЕРАТУРА

- Чавдаров С. С., Часовитин Ю. К., Чернышева С. П. и др. Среднеширотный спорадический слой. Е. М.: Наука, 1975. 119 с.
- Керблай Т. С., Васильев К. Н., Васильева Т. Н. В кн.: Траекторные характеристики коротких волн. М.: ИЗМИРАН, 1978, с. 98.
- Овеггельдыев О. О., Михайлова Г. В. В кн.: IV Межведомственный семинар по моделированию ионосферы. Томск: ТГУ, 1978, с. 49.
- Овеггельдыев О. О. Геомагнетизм и аэрономия, 1968, т. 8, 1114.
- Крамер Г., Лидбеттер М. Стационарные случайные процессы. М.: Мир, 1969. 398 с.
- Тихонов В. И. Выбросы случайных процессов. М.: Наука, 1970. 392 с.
- Чавдаров С. С., Часовитин Ю. К. В кн.: Ионосферные исследования, № 13. М.: Наука, 1964, с. 24.
- Тихонов В. И. Статистическая радиотехника. М.: Радио и связь, 1982. 624 с.

Воронежский государственный  
университет

Поступила в редакцию  
8.II.1983